



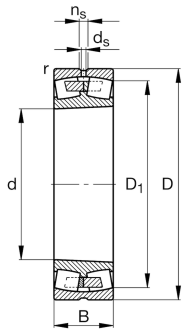
FAG

23988-K-MB-C3 [↗](#)

Радиальный сферический роликоподшипник

Радиальный сферический роликоподшипник 239...-K-MB, симметричный, 3 борта

Техническая информация

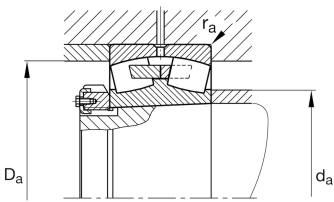


Ваш текущий вариант продукта

Исполнение отверстия	K	Коническое, 1:12
Cage	MB	Латунный сепаратор, массивный
Радиальный зазор	C3 (Group 3)	Internal clearance larger than CN
Relubrication	Standard	Стандарт

Основные размеры и рабочие характеристики

d	440 mm	Диаметр отверстия
D	600 mm	Наружный диаметр
B	118 mm	Ширина
C _r	2.230.000 N	Динамическая грузоподъемность, радиальная
C _{0r}	5.200.000 N	Статическая грузоподъемность, радиальная
C _{ur}	305.000 N	Предел усталостной нагрузки, радиальный
n _G	1.130 1/min	Предельная частота вращения
n _{gr}	620 1/min	Номинальная тепловая частота вращения
m	97,4 kg	Вес





Присоединительные размеры

$d_{a \min}$	454,6 mm	Мин. диаметр заплечика вала
$D_{a \max}$	585,4 mm	Макс. диаметр заплечика корпуса
$r_{a \max}$	3 mm	Макс. радиус галтели
$d_{a \max}$	482 mm	Макс. диаметр заплечика вала
$d_b \min$	454 mm	Мин. диаметр под втулку
$B_{a \min}$	17 mm	Мин. глубина под втулку

Габаритные размеры

r_{\min}	4 mm	Мин. размер монтажной фаски
D_1	552,8 mm	Диаметр отверстия наружного кольца
d_s	12,5 mm	Диаметр смазочного отверстия
n_s	23,5 mm	Width of lubricating groove

Диапазон температур

T_{\min}	-30 °C	Мин. рабочая температура
T_{\max}	200 °C	Макс. рабочая температура

Коэффициенты для расчета

e	0,18	Предельное значение F_a/F_g для применимости различн. значений коэффициентов X и Y
Y_1	3,66	Динамический коэффициент осевой нагрузки
Y_2	5,46	Динамический коэффициент осевой нагрузки
Y_0	3,58	Статический коэффициент осевой нагрузки

Дополнительная информация

N3988-HG	Закрепительная втулка
АН3988-H	Withdrawal sleeve



Характеристики

-  Радиальная нагрузка
-  Осевая нагрузка в одном направлении
-  Осевая нагрузка в обоих направлениях
-  Смазывание пластичной смазкой
-  Смазывание маслом
-  Без уплотнений
-  Крупногабаритный подшипник
-  Статические угловые и линейные несоосности
-  Динамические угловые и линейные несоосности